

СТАТИСТИЧЕСКАЯ СУММА
КАЛИБРОВОЧНОЙ
СУПЕРСИММЕТРИЧНОЙ
МОДЕЛИ ИЗИНГА
НА ТРЕХМЕРНОЙ РЕШЕТКЕ

С.Н. Вергелес

PACS numbers: 05.50.+q

Образующие алгебры Клиффорда $\{\xi_x\}$ удовлетворяют соотношениям

$$\begin{aligned}\xi_x \xi_y + \xi_y \xi_x &= 2\delta_{x,y}, \\ x, y, \dots &= 1, \dots, I = 2K,\end{aligned}\quad (1.1)$$

и они предполагаются эрмитовыми матрицами размерности $2^{I/2}$. Из алгебры (1.1) немедленно следует, что след от любого произведения нечетного числа ξ -матриц равен нулю, и

$$\begin{aligned}\text{tr } \xi_x \xi_y &= 2^{I/2} \delta_{x,y}, \\ \text{tr } \xi_x \xi_y \xi_z \xi_v &= 2^{I/2} (\delta_{x,y} \delta_{z,v} - \delta_{x,z} \delta_{y,v} + \delta_{x,v} \delta_{y,z}),\end{aligned}\quad (1.2)$$

и т.д.

Отсюда следует, что след от какого либо произведения ξ -матриц равен $\pm 2^{I/2}$ тогда и только тогда, когда каждая из ξ -матриц в этом произведении имеет четную полную степень. В противном случае след от этого произведения равен нулю.

Обозначения:

$$\begin{aligned} &\text{Вершина решетки } \mathbf{v}_{\mathbf{x}}, \quad \mathbf{x} \equiv (m, n, l), \\ &m = 1, \dots, M, \quad n = 1, \dots, N, \quad l = 1, \dots, L. \end{aligned} \quad (1.3)$$

Базисные векторы решетки:

$$\mathbf{e}_1 = (1, 0, 0), \quad \mathbf{e}_2 = (0, 1, 0), \quad \mathbf{e}_3 = (0, 0, 1).$$

$\mathfrak{l}_{\mathbf{x}, i} = \mathfrak{l}_{m, n, l; i}$ — ребро, соединяющее вершины $\mathbf{v}_{\mathbf{x}}$ и $\mathbf{v}_{\mathbf{x}+\mathbf{e}_i}$;

$\mathfrak{f}_{\mathbf{x}, i}$ — грань с вершинами $(\mathbf{x}, \mathbf{x} + \mathbf{e}_j, \mathbf{x} + \mathbf{e}_j + \mathbf{e}_k, \mathbf{x} + \mathbf{e}_k)$,

причем скалярные произведения

$$(\mathbf{e}_i \mathbf{e}_j) = (\mathbf{e}_i \mathbf{e}_k) = 0.$$

Совокупность образующих алгебры Клиффорда состоит из трех групп. Образующие первой группы обозначаются $\{\alpha_{\mathbf{x}}\}$, второй — $\{\beta_{\mathbf{x}}\}$, третьей — $\{\gamma_{\mathbf{x}}\}$. Каждому ребру $\mathfrak{l}_{\mathbf{x}, 1}$ сопоставляется матрица $\alpha_{\mathbf{x}}$, ребру $\mathfrak{l}_{\mathbf{x}, 2}$ — матрица $\beta_{\mathbf{x}}$ и ребру $\mathfrak{l}_{\mathbf{x}, 3}$ — матрица $\gamma_{\mathbf{x}}$. Используется запись:

$$\xi_{\mathbf{x}} = \xi_{\mathbf{x}}^{(i)} = (\alpha_{\mathbf{x}}, \beta_{\mathbf{x}}, \gamma_{\mathbf{x}}), \quad i = 1, 2, 3. \quad (1.4)$$

Сопоставим каждой грани унитарную матрицу поворота в спинорном представлении:

Грани $f_{\mathbf{x}, 1}$ — матрицу

$$U_{(m, n, l)}^{(1)} \equiv (\lambda + \mu \beta_{\mathbf{x}} \gamma_{\mathbf{x}+\mathbf{e}_2}) (\lambda + \mu \beta_{\mathbf{x}+\mathbf{e}_3} \gamma_{\mathbf{x}}), \quad (1.5)$$

грани $f_{\mathbf{x}, 2}$ — матрицу

$$U_{(m, n, l)}^{(2)} \equiv (\lambda + \mu \alpha_{\mathbf{x}} \gamma_{\mathbf{x}+\mathbf{e}_1}) (\lambda + \mu \alpha_{\mathbf{x}+\mathbf{e}_3} \gamma_{\mathbf{x}}), \quad (1.6)$$

и грани $f_{\mathbf{x}, 3}$ — матрицу

$$U_{(m, n, l)}^{(3)} \equiv (\lambda + \mu \alpha_{\mathbf{x}} \beta_{\mathbf{x}+\mathbf{e}_1}) (\lambda + \mu \alpha_{\mathbf{x}+\mathbf{e}_2} \beta_{\mathbf{x}}). \quad (1.7)$$

Здесь

$$\mathbf{x} = (m, n, l), \quad \lambda = \cos \frac{\psi}{2}, \quad \mu = \sin \frac{\psi}{2}. \quad (1.8)$$

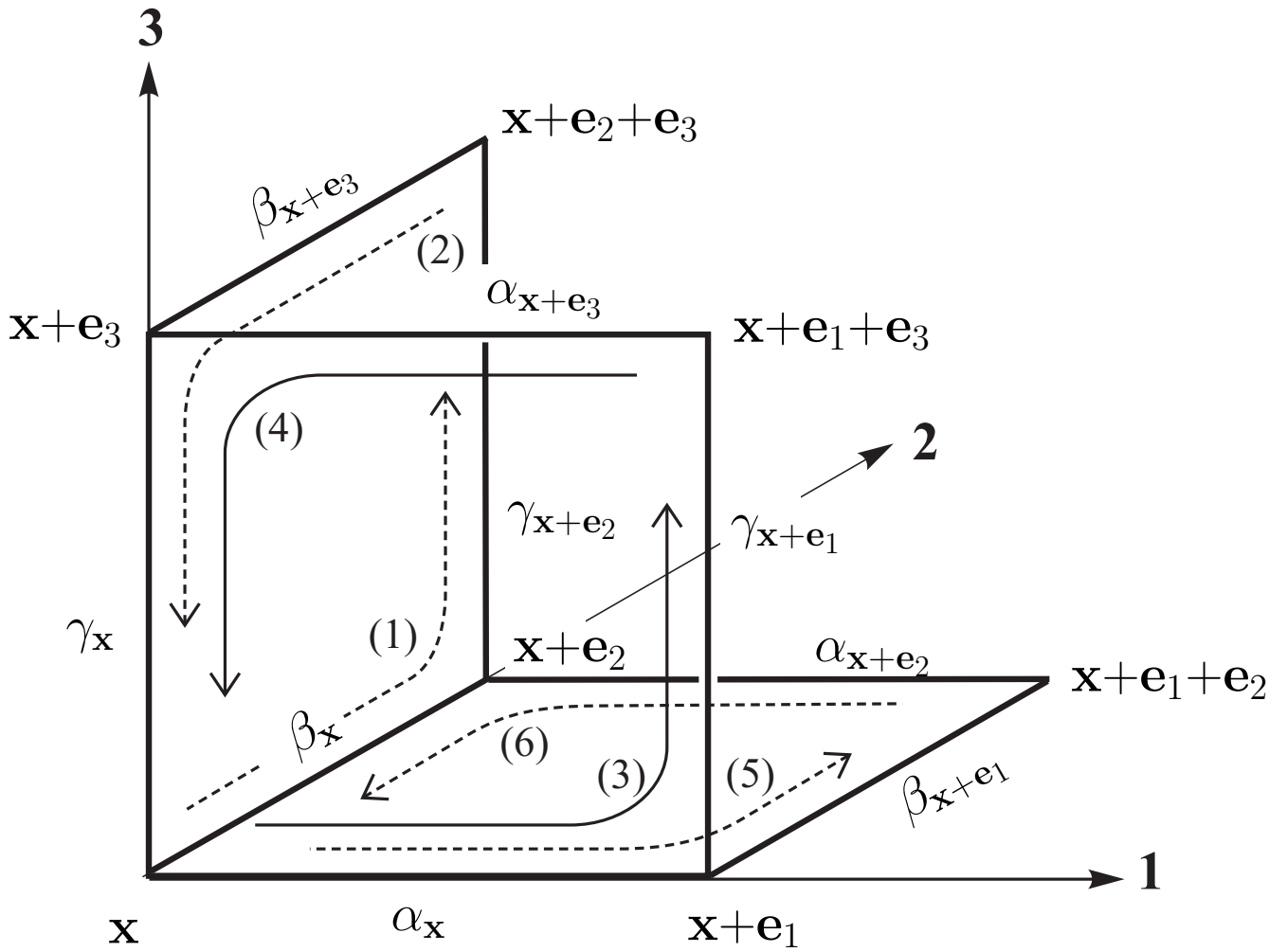


Рис. 1

Соответствующий фактор:

$$\begin{aligned}
 U_{(m, n, l)} &\equiv U_{(m, n, l)}^{(1)} U_{(m, n, l)}^{(2)} U_{(m, n, l)}^{(3)} = \\
 &= \left[(\lambda + \mu \beta_{\mathbf{x}} \gamma_{\mathbf{x}+\mathbf{e}_2}) (\lambda + \mu \beta_{\mathbf{x}+\mathbf{e}_3} \gamma_{\mathbf{x}}) \right] \times \\
 &\times \left[(\lambda + \mu \alpha_{\mathbf{x}} \gamma_{\mathbf{x}+\mathbf{e}_1}) (\lambda + \mu \alpha_{\mathbf{x}+\mathbf{e}_3} \gamma_{\mathbf{x}}) \right] \times \\
 &\times \left[(\lambda + \mu \alpha_{\mathbf{x}} \beta_{\mathbf{x}+\mathbf{e}_1}) (\lambda + \mu \alpha_{\mathbf{x}+\mathbf{e}_2} \beta_{\mathbf{x}}) \right].
 \end{aligned}$$

Определение статистической суммы:

$$Z = C \operatorname{tr} \mathcal{U}, \quad (1.9)$$

$$\mathcal{U} = \left(\hat{P} \prod_l \right) \mathcal{U}_{(l)}, \quad (1.10)$$

$$\mathcal{U}_{(l)} = \left(\hat{P} \prod_n \right) \mathcal{U}_{(n,l)}, \quad (1.11)$$

$$\begin{aligned} \mathcal{U}_{(n,l)} &= \left(\hat{P} \prod_m \right) U_{(m,n,l)} = \\ &= \dots U_{(m-1,n,l)} U_{(m,n,l)} U_{(m+1,n,l)} \dots \end{aligned} \quad (1.12)$$

Здесь C — некая числовая константа.

Рассмотрим вклад в \mathcal{U} от простейшей замкнутой поверхности без самопересечений: элементарного кубика с гранями $f_{\mathbf{x},1}$, $f_{\mathbf{x},2}$, $f_{\mathbf{x},3}$, $f_{\mathbf{x}+\mathbf{e}_1,1}$, $f_{\mathbf{x}+\mathbf{e}_2,2}$, $f_{\mathbf{x}+\mathbf{e}_3,3}$. Здесь порядок перечисления граней соответствует порядку построения из элементарных "кирпичиков" соответствующего слагаемого в \mathcal{U} . Таким образом

$$\begin{aligned} \Delta\mathcal{U} = & (\beta_{\mathbf{x}}\gamma_{\mathbf{x}+\mathbf{e}_2}\beta_{\mathbf{x}+\mathbf{e}_3}\gamma_{\mathbf{x}}) (\alpha_{\mathbf{x}}\gamma_{\mathbf{x}+\mathbf{e}_1}\alpha_{\mathbf{x}+\mathbf{e}_3}\gamma_{\mathbf{x}}) \times \\ & \times (\alpha_{\mathbf{x}}\beta_{\mathbf{x}+\mathbf{e}_1}\alpha_{\mathbf{x}+\mathbf{e}_2}\beta_{\mathbf{x}}) \times \\ & \times (\beta_{\mathbf{x}+\mathbf{e}_1}\gamma_{\mathbf{x}+\mathbf{e}_1+\mathbf{e}_2}\beta_{\mathbf{x}+\mathbf{e}_1+\mathbf{e}_3}\gamma_{\mathbf{x}+\mathbf{e}_1}) \times \\ & \times (\alpha_{\mathbf{x}+\mathbf{e}_2}\gamma_{\mathbf{x}+\mathbf{e}_1+\mathbf{e}_2}\alpha_{\mathbf{x}+\mathbf{e}_2+\mathbf{e}_3}\gamma_{\mathbf{x}+\mathbf{e}_2}) \times \\ & \times (\alpha_{\mathbf{x}+\mathbf{e}_3}\beta_{\mathbf{x}+\mathbf{e}_1+\mathbf{e}_3}\alpha_{\mathbf{x}+\mathbf{e}_2+\mathbf{e}_3}\beta_{\mathbf{x}+\mathbf{e}_3}) = 1. \quad (1.13) \end{aligned}$$

В этом произведении каждая ξ -матрица содержится дважды.

Совокупность изогнутых под прямым углом жирных стрелок образует край поверхности. Сама же поверхность на рис. 2 есть заштрихованная грань с вершинами v_2, v_3, v_4, v_6 .

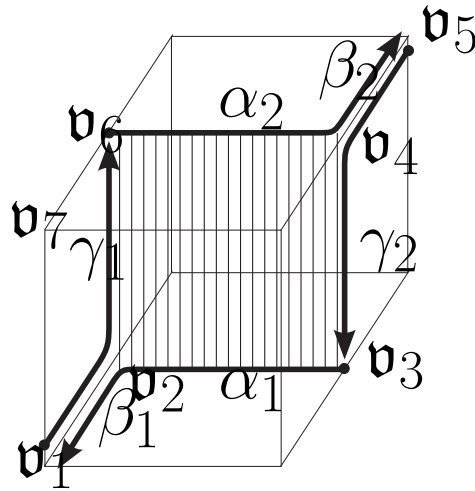


Рис. 2

Вклад от этой поверхности в \mathcal{U} пропорционален выражению

$$\begin{aligned} \Delta_1 \mathcal{U} &= \\ (\beta_1 \gamma_1)(\alpha_1 \beta_1)(\alpha_1 \gamma_2 \alpha_2 \gamma_1)(\beta_2 \gamma_2)(\alpha_2 \beta_2) &= \\ &= -1. \end{aligned} \tag{1.14}$$

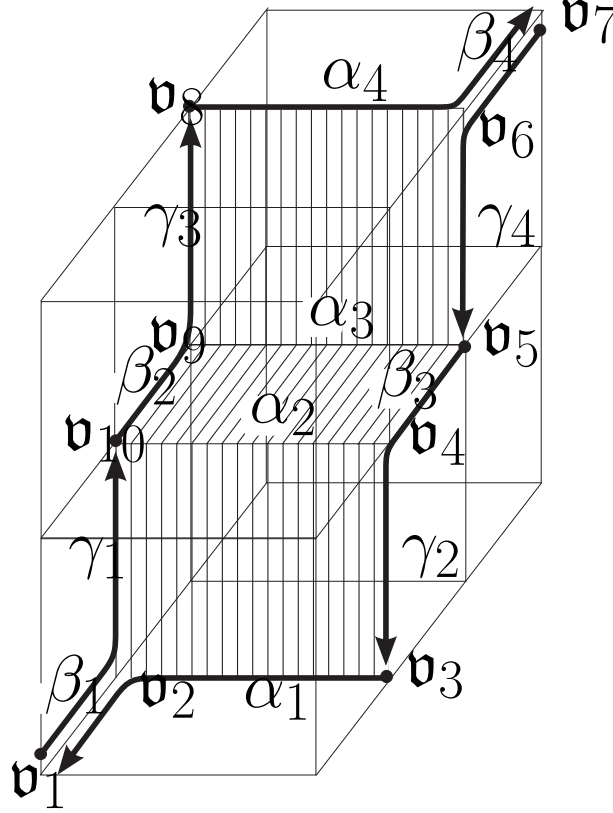


Рис. 3

Вклад от поверхности на рис. 3 в \mathcal{U} пропорционален выражению

$$\begin{aligned} \Delta_2 \mathcal{U} = & (\beta_1 \gamma_1) (\alpha_1 \beta_1) (\alpha_1 \gamma_2 \alpha_2 \gamma_1) \times \\ & \times (\beta_3 \gamma_2) (\beta_2 \gamma_3) (\alpha_2 \beta_3 \alpha_3 \beta_2) \times \\ & \times (\alpha_3 \gamma_4 \alpha_4 \gamma_3) (\beta_4 \gamma_4) (\alpha_4 \beta_4) = 1. \end{aligned} \quad (1.15)$$

Матрица поворота в спинорном представлении (1.10) может быть представлена в виде

$$\mathcal{U} = \exp \left(\frac{1}{4} \omega_{x,y} \xi_x \xi_y \right), \quad \omega_{x,y} = -\omega_{y,x}, \quad (1.16)$$

причем

$$\begin{aligned} \mathcal{U}^\dagger \xi_x \mathcal{U} &= \mathcal{O}_{x,y} \xi_y, \\ \mathcal{O}_{x,y} &\equiv (e^\omega)_{x,y} = \delta_{x,y} + \omega_{x,y} + \frac{1}{2!} \omega_{x,z} \omega_{z,y} + \dots \end{aligned} \quad (1.17)$$

Пусть набор чисел

$$\begin{aligned} &\left(\rho_1, \bar{\rho}_1, \rho_2, \bar{\rho}_2, \dots, \rho_{3MNL/2}, \bar{\rho}_{3MNL/2} \right) = \\ &= \{ \rho_k, \bar{\rho}_k \}, \quad k = 1, \dots, 3MNL/2 \end{aligned} \quad (1.18)$$

образует полный набор собственных значений матрицы $\mathcal{O}_{x,y}$. Тогда

$$\text{tr} \mathcal{U} = \prod_{k=1}^{3MNL/2} \left(\sqrt{\rho_k} + \sqrt{\bar{\rho}_k} \right). \quad (1.19)$$

$$\rho_{1,2}(p, q, r) = \frac{-\eta \pm i\sqrt{4\chi\bar{\chi} - \eta^2}}{2\chi}, \quad \rho_3 = 1. \quad (2.1)$$

$$\begin{aligned} \chi = & 1 + e^{iq} \sin^3 \psi + \\ & + \left[e^{i(p+q)} + e^{i(p+r)} + e^{i(q+r)} \right] \cos^2 \psi \sin^2 \psi, \end{aligned} \quad (2.2)$$

$$\begin{aligned} \eta = \bar{\eta} = & \left(1 - 3 \cos^4 \psi + \sin^6 \psi \right) + \\ & + \sin^3 \psi \left(e^{iq} + e^{-iq} \right). \end{aligned} \quad (2.3)$$

$$\mathcal{F} = -T \frac{MNL}{8\pi^3} \int_{-\pi}^{\pi} dp \int_{-\pi}^{\pi} dq \int_{-\pi}^{\pi} dr \times$$

$$\times \ln \left\{ \left(1 - \sin^2 \psi \right) \left[\sin^4 \psi + 2(\nu - 1) \sin^2 \psi + 4 \right] \right\},$$

$$\nu(p, q, r) \equiv [\cos(p + q) + \cos(p + r) + \cos(q + r)]. \quad (3.1)$$

Убывание температуры от бесконечности до нуля означает равномерное возрастание углового параметра ψ от нуля до $(\pi/2)$:

$$\frac{d\psi(T)}{dT} < 0, \quad \psi(0) = \frac{\pi}{2}, \quad \psi(\infty) = 0. \quad (3.2)$$

Чтобы аргумент логарифма в (3.1) обратился в нуль, необходимо выполнение уравнения

$$x_c^2 + 2(\nu - 1)x_c + 4 = 0, \quad x \equiv \sin^2 \psi. \quad (3.3)$$

Интерес представляют лишь вещественные решения в отрезке $0 \leq x_c \leq 1$. Это возмож-

но лишь при условии

$$-3 \leq \nu \leq -\frac{3}{2}. \quad (3.4)$$

Единственное решение имеет вид

$$x_c(\nu) = (1 - \nu) - \sqrt{(1 - \nu)^2 - 4}, \quad (3.5)$$

причем $\sqrt{x_c(\nu)}$ является монотонно растущей функцией на отрезке (3.4), так что

$$\sqrt{x_c(-3)} = \sin \psi_c = \sqrt{4 - \sqrt{12}} < 1 \quad (3.6)$$

является ее минимальным значением, и

$$\sqrt{x_c(-3/2)} = \sin \psi_c = 1 \quad (3.7)$$

— максимально возможным значением.

Точка $\nu = -3$ является выделенной точкой в пространстве квазиимпульсов, поскольку она достигается лишь при двух значениях квазиимпульсов p , q , r :

$$\begin{aligned} p_c^{(1)} = q_c^{(1)} = r_c^{(1)} &= \frac{\pi}{2}, \\ p_c^{(2)} = q_c^{(2)} = r_c^{(2)} &= -\frac{\pi}{2}. \end{aligned} \quad (3.8)$$

Напротив, для всех значений ν на полуинтервале

$$-3 < \nu(p, q, r) \leq -\frac{3}{2} \quad (3.9)$$

имеется целый континуум значений квазиимпульсов.